

5. Крыло в нестационарном потоке газа / С.М. Белоцерковский и др. – М.: Наука, 1971. – 767 с.
6. *Myung J. R.* A studt of dynamic stall vortex development using two-dimentional data from AFDD oscillating wing experiment// NASA/TM-2002.
7. 211857. 2002. 96 с. Pulliam, T. H. „Euler and Thin layer Navier Stokes codes: ARC2D, ARC3D‖ // Computational fluid dynamics. 1984. 15.43-15.66 р.
8. *Мак Кроски В., Филлип С.* Нестационарное обтекание колеблющихся профилей вязкой жидкостью. /Пер./. Ракетная техника и космонавтика. 1975. Т. 13, № 1 –357 С.
9. Эрикссон Е. С. Анализ возможностей использования вязких нестационарных течений. Аэрокосмическая техника. 1989. № 5. –440 С.

УДК 629.7

**О. І. Левченко, Г. А. Вірченко**

### **ОЦІНКА ВПЛИВУ СХЕМИ «ГВИНТ У КІЛЬЦІ» НА ЗЛІТНІ ХАРАКТЕРИСТИКИ ЛІТАЛЬНОГО АПАРАТА**

#### **Вступ**

Повітряний транспорт нині є найбільш швидким засобом пересування. Однак, наприклад, збільшення вдвічі крейсерської швидкості польоту літака підвищує його середню шляхову швидкість тільки на 10-15%. Це пояснюється тим, що багато часу витрачається на такі режими як зліт, посадка, маневрування на землі тощо. Оскільки основний об'єм повітряних перевезень здійснюється на відстані від 300 до 1000 км, то зліт і посадка може займати до 50% тривалості всього польоту. Для вирішення такої задачі може бути використана модель літака з поворотними гвинтами на кінцях крила [1]. У роботі проведено аналіз моделі літака з поворотними гвинтами на кінцях крила. Це забезпечує поєднання переваг вертолітота, а саме можливість вертикального зльоту й посадки, а також зависання на певній висоті в повітрі, з перевагами літака – набагато більшою швидкістю та дальністю польоту [2]. Основною нерозв'язаною задачею є забезпечення стійкості та керованості створюваного літального апарату при режимі переходу від вертикального польоту до горизонтального і навпаки.

### Постановка задачі

Розрахунковим шляхом визначити основні аеродинамічні характеристики літального апарату при зльоті та переході в горизонтальний політ. Визначити потрібні параметри силової установки та порівняти результат розрахунку при схемі «вільний гвинт» та схемі «гвинт у кільці».

### Результати дослідження

Для розрахунку злітна маса літака вертикального зльоту та посадки складає  $m_0 = 1000$  кг. Потужність силової установки  $N_{noz} = 2 \times 400$  к.с. Також приймається, що тяга гвинта в кільці дає 20% переваги над тягою гвинта на режимах зльоту та посадки.

Характеристики переходного режиму при зльоті визначаються в програмі MATLAB 7.2 з врахуванням вихідних даних [1].

Розраховано довжину дільниці, необхідної для переходу з режиму зльоту в режим горизонтального польоту без набору висоти за формулою

$$L_p = \frac{V_p^2}{2 \left( \frac{dV_x}{dt} \right)}. \quad (1)$$

Швидкість переходного режиму знаходимо за формулою

$$V_p = V_{p0} \sqrt{1 - \mu_M \sin \psi - \mu_P \cos \psi} - 0,8V_2 \sqrt{\frac{S'}{S}}, \quad (2)$$

де  $V_{p0}$  – швидкість режиму горизонтального польоту;

$\mu_M = 1/K$  – необхідна шляхова тягоозброєність;

$K$  – аеродинамічна якість літака вертикального зльоту та посадки;

$\psi$  – кут нахилу вектора тяги гвинтів;

$V_2$  – швидкість потоку за гвинтом;

$S$  – площа крила, яка омивається потоком від гвинта;

$S'$  – площа крила літального апарату.

З рівняння (1) може бути розрахований час, за який відбувається розгин літака від швидкості  $V_1$  до швидкості  $V_p$ .

В розрахунках виконується умова виходу літального апарату в режим горизонтального польоту (3), коли сума проекцій на вісь у підйомності сили  $Y$  і тяги гвинтів  $P_y$  буде рівною злітній масі літака:

$$Y_\Sigma = P_y + Y = m_0 g. \quad (3)$$

Для системи «гвинт в кільці» коефіцієнт корисної дії  $\eta_c$  без врахування втрат на кінцях розраховується за формулою (4). Коефіцієнт  $\eta_c$  дося-

гає максимального значення при умові відсутності затрат енергії на розгин потоку за гвинтом

$$\eta_c = \frac{1}{1 + \frac{v_B + v_K}{V}} \cdot \frac{T}{T_\Gamma}, \quad (4)$$

де  $T_\Gamma$  – тяга гвинта;

$v_B$  – швидкість викликана гвинтом при наявності кільця;

$v_K$  – швидкість потоку.

В табл. 1 наведено результати наближених розрахунків кінематичних і аеродинамічних характеристик літака вертикального зльоту та посадки [4]. Наведено результати при різних кутах атаки, кутах нахилу вектора тяги та при швидкості польоту від нуля до переходу в режим горизонтального польоту.

### Таблиця

*Результати наближених розрахунків кінематичних і аеродинамічних характеристик літака вертикального зльоту та посадки*

$V, \text{ м/с}$	$\alpha, {}^\circ$	$\psi, {}^\circ$	$c_{ya}$	$c_x$	$m_z$	$c_{yak}$	$c_{xk}$	$m_{zk}$
0	0	90	0	0	0	0	0	0
10	8	85	0,523	0,034	-0,048	0,6339	0,0412	-0,0582
20	13	73	0,909	0,077	-0,093	1,1018	0,0933	-0,1127
30	16	55	1,145	0,129	-0,106	1,3879	0,1564	-0,1185
40	15	32	1,126	0,116	-0,089	1,3648	0,1406	-0,1079
50	8	0	0,791	0,040	-0,064	0,9588	0,0485	-0,0776

В таблиці  $c_{ya}$ ,  $c_x$ ,  $m_z$  – коефіцієнти підйомної сили, лобового опору та поздовжнього моменту для традиційної схеми,  $c_{yak}$ ,  $c_{xk}$ ,  $m_{zk}$  – коефіцієнти підйомної сили, лобового опору та поздовжнього моменту для схеми гвинт у кільці.

Закони зміни коефіцієнтів підйомної сили, лобового опору і поздовжнього моменту на всіх етапах зльоту до швидкості перехідного режиму  $V_p$  наведені на рис. 1. – рис. 3. На кожному рисунку показано результат для порівняння двох вибраних схем.

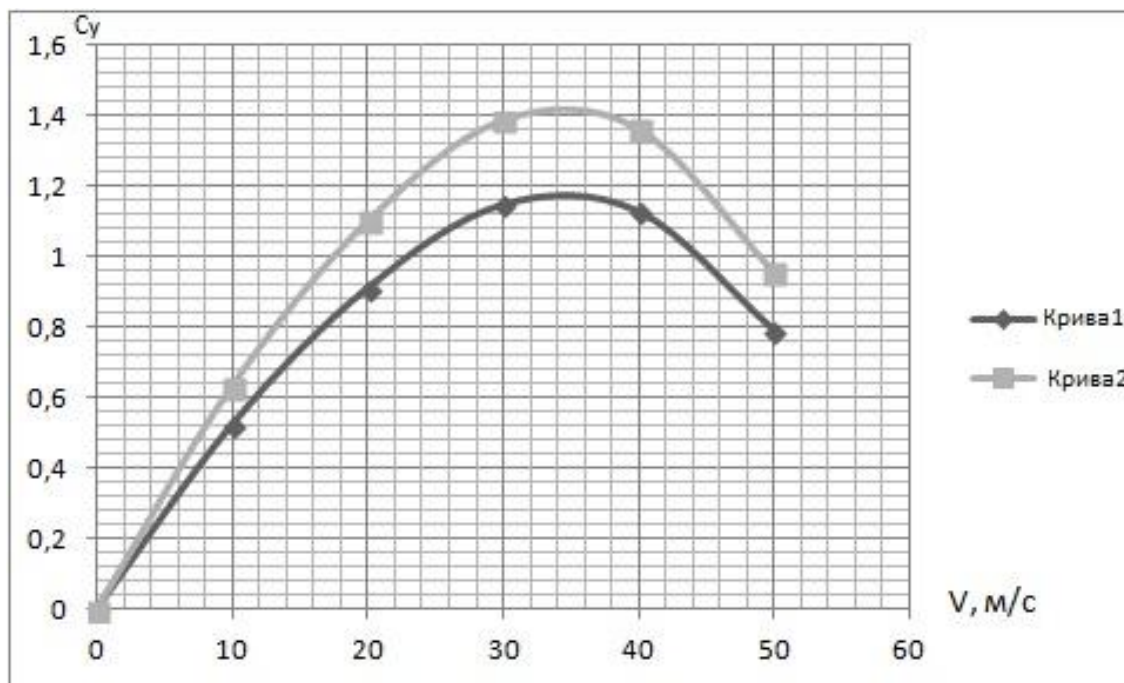


Рис. 1. Закон зміни коефіцієнтів підйомної сили:

$$\text{Ряд } 1 - c_{ya} = f(V), \text{ Ряд } 2 - c_{yak} = f(V)$$

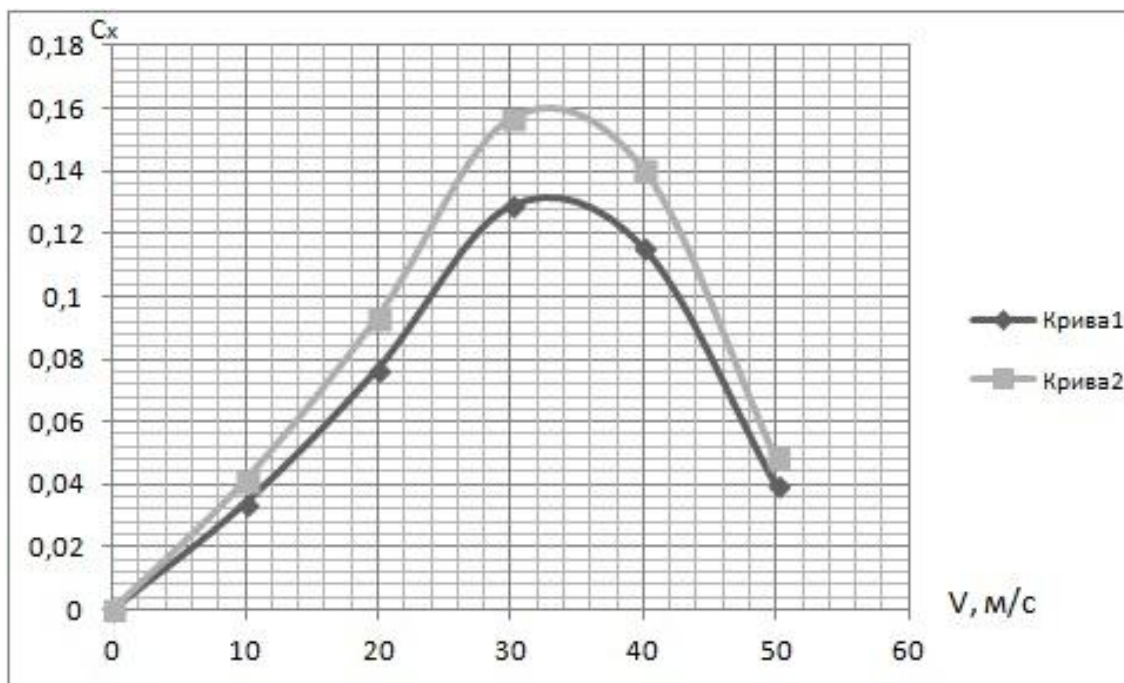


Рис. 2. Закон зміни коефіцієнтів лобового опору:

$$\text{Ряд } 1 - c_{xa} = f(V), \text{ Ряд } 2 - c_{xak} = f(V)$$

Залежності вертикальних і горизонтальних складових тяги гвинтів і підйомної сили приведені на рис. 4.

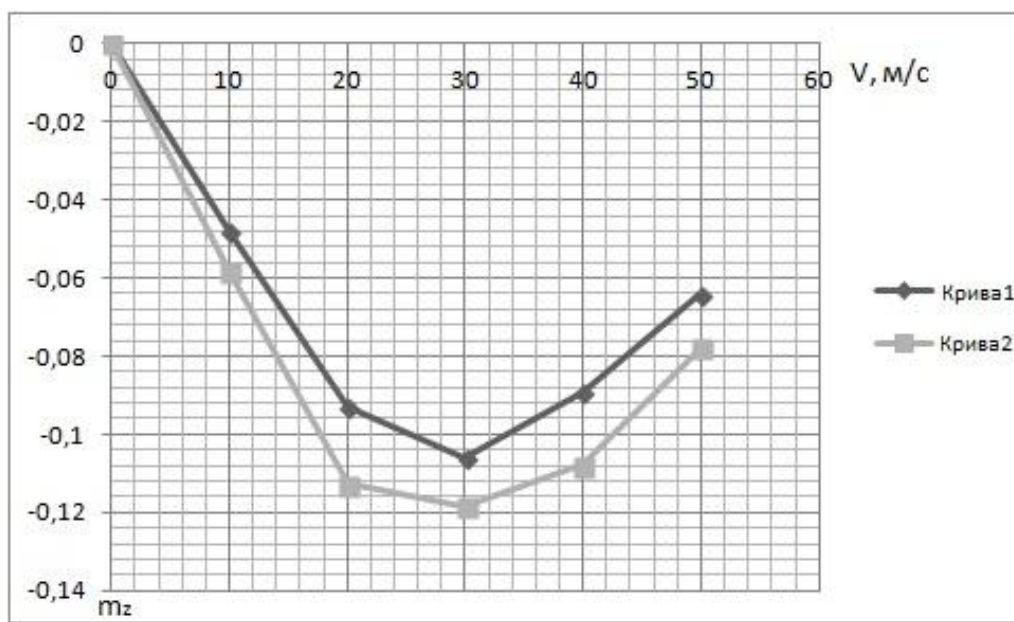
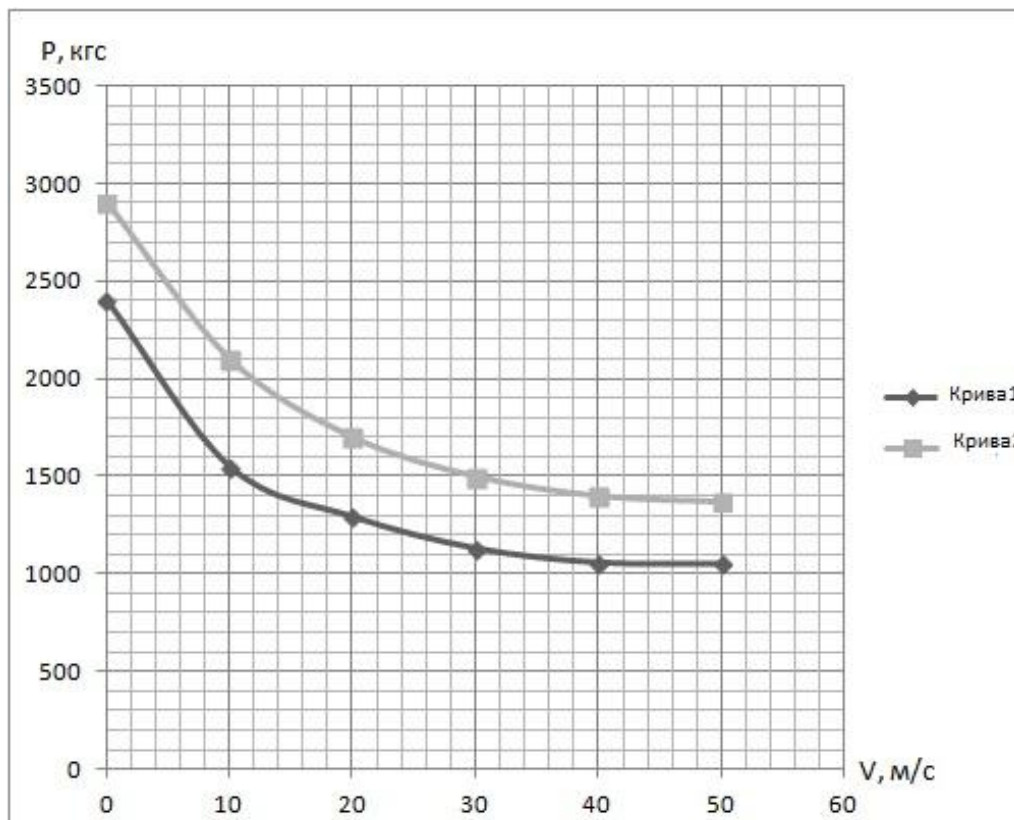


Рис. 3. Закон зміни коефіцієнтів підйомної сили:

$$\text{Ряд 1} - c_{ya} = f(V), \text{ Ряд 2} - c_{yak} = f(V)$$

Рис. 4. Залежність  $P_y$ ,  $Y_a = f(V)$  Ряд 1 – вільний гвинт,

Ряд 2 – «гвинт у кільці»

До моменту набору швидкості перехідного процесу існує надлишок тяги, який необхідний для подальшого розгону літака до максимальної швидкості польоту.

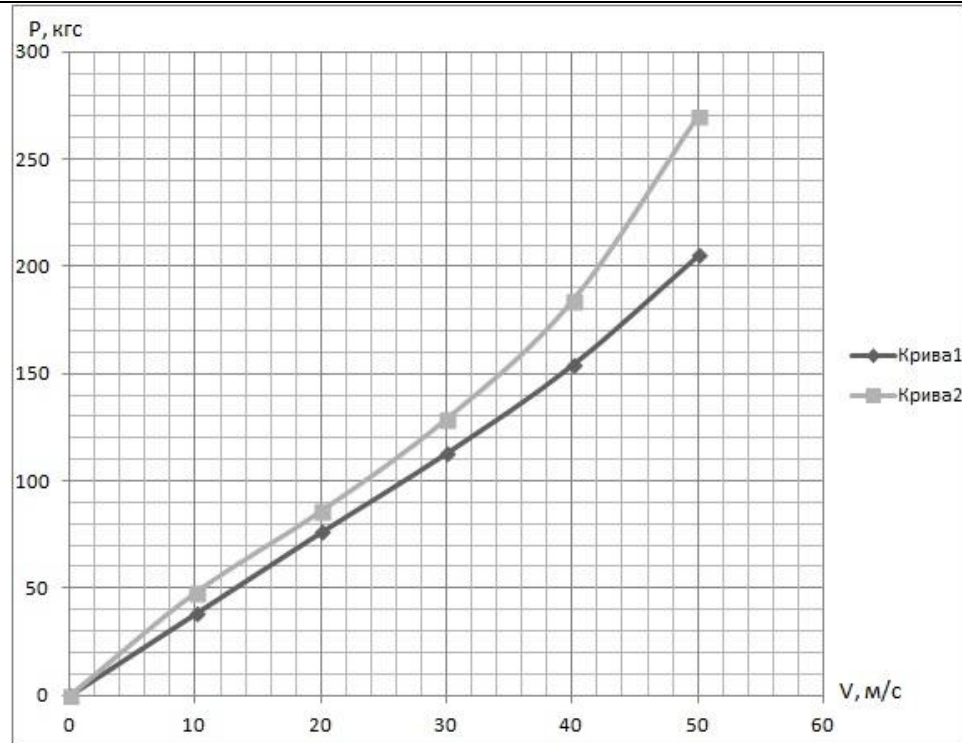


Рис. 5. Залежність  $P_x$ ,  $X_a = f(V)$ . Ряд 1 – вільний гвинт, Ряд 2 – «гвинта в кільці»

На рис. 5 приведено графік залежності лобового опору та тяги гвинта ( $P_x - X_a$ ) від швидкості. Як бачимо, з представлених законів зміни кінематичних параметрів та тягових характеристик, зліт літального апарату більш вигідно проводити з використанням схеми гвинта у кільці.

При відомій величині приросту надлишку тяги було знайдено середнє прискорення  $j_{cp}$  при зльоті для двох випадків

$$\frac{g \Delta P_x}{m_0 g} = j_{cp} .$$

Підставивши швидкість горизонтального польоту, яку було знайдено з рівняння 2 у рівняння 5, відшукаємо довжину горизонтальної ділянки, на якій відбувається переходний режим зльоту:

$$L_{nep} = \frac{V_{nep}^2}{2 j_{cp}} .$$

Для схеми вільного гвинта довжина розбігу становить  $L_{nep} = 282$  м, а для схеми гвинт у кільці  $L_{nep} = 239$  м, що показує перевагу використання останньої схеми для зменшення часу зльоту та посадки.

При посадці літального апарату відбуваються аналогічні процеси, але в зворотному порядку [3]. Однак, зменшення палива зменшує необхідну

тягоозброєність літака і відповідно зменшує довжину ділянки перехідного режиму та часу, необхідного для посадки.

### **Висновок**

Результати тільки наближено відображають реальні аеродинамічні процеси. Проте вони можуть бути використані в подальшому проектуванні літального апарату. Отримані коефіцієнти аеродинамічних сил дають можливість розрахувати необхідні тягові характеристики літального апарату. Результати розрахунків тягових характеристик показують переваги використання схеми гвинт у кільці, що дає приріст підйомної сили порівняно з схемою вільного гвинта. Збільшення лобового опору впливає не суттєво при малих швидкостях, а саме в режимі зльоту.

### **Список використаної літератури**

1. *Хафер К.* Техника вертикального взлета и посадки/ - Москва «МИР», 1985.
2. *Цихош Э.* «Сверхзвуковые самолёты» пр. «Самолёты вертикального взлёта и посадки». Москва, 1983.
3. *Курочкин Ф. П.* Основы проектирования самолетов с вертикальным и посадкой/ Ф. П. Курочкин. – М. : Машиностроение, 1970.
4. *Лемко О. Л.* Оцінка параметрів перехідних режимів польоту літака вертикального зльоту і посадки з поворотними гвинтами, ХАІ, 2011.

УДК 629.739.3

**О. Л. Лемко, Е.О. Гребеніков**

## **ОСОБЛИВОСТІ РОЗРАХУНКУ АЕРОДИНАМІЧНИХ ТА ЛЬОТНО-ТЕХНІЧНИХ ХАРАКТЕРИСТИК БЕЗПІЛОТНОГО ЛІТАЛЬНОГО АПАРАТУ МОДУЛЬНОЇ КОНСТРУКЦІЇ**

### **Вступ**

Фахівці провідних авіаційних держав вважають, що оснащення спеціалізованих відомств практично всіх розвинених держав новими безпілотними засобами в даний час є одним з найбільш пріоритетних напрямків розвитку авіації [1], [2].